

بررسی اثر پارامترهای موتور القایی خطی در بهینه‌سازی طراحی موتور براساس روش اجزاء محدود

مهرداد جعفر بلند^۱، عبدالامیر نکوبین^۲

۱- استادیار، دانشکده برق دانشگاه صنعتی مالک اشتر، J_mehrdad405@hotmail.com
۲- دانشجوی کارشناسی ارشد، دانشکده برق، دانشگاه آزاد اسلامی، واحد نجف‌آباد، nekoubin@yahoo.com

چکیده

پارامترهای تأثیرگذار در عملکرد موتور القایی خطی از جمله فاصله هوازی، ضخامت ثانویه و تعداد قطب‌ها باید به‌گونه‌ای انتخاب و بهینه‌سازی شود تا ضریب توان و عملکرد موتور به‌طور قابل توجهی افزایش یابد، در این مقاله یک موتور القایی خطی در شرایط مختلف طراحی و سپس به‌روش اجزای محدود و با استفاده از نرم‌افزار Maxwell مورد تحلیل الکترومغناطیسی قرار گرفته است و برای مقایسه روش عددی و روش تحلیلی در شبیه‌سازی موتور، یک موتور القایی خطی با استفاده از نرم‌افزار Matlab در شرایط متفاوت شبیه‌سازی شده است. از نتایج حاصل مشخص است باتوجه مقدار بهینه پارامترهای تأثیرگذار در عملکرد موتور القایی خطی، موتور در مدت زمان کوتاه‌تری به‌حال ثابت رسیده است و تلفات انرژی در موتور کاهش یافته و راندمان موتور افزایش یافته است.

واژه‌های کلیدی

موتور القایی خطی، اجزای محدود، ضخامت ثانویه، فاصله هوازی، طراحی بهینه، تعداد قطب‌ها

۱- مقدمه

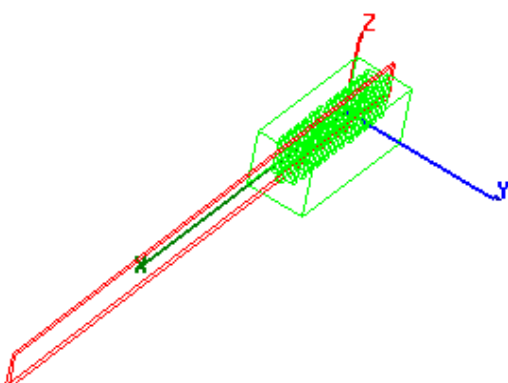
سنکرون خطی و موتور پله‌ای خطی، در میان این موتورها موتور القایی خطی دارای مزایای زیادی از جمله نیروی راهانداز زیاد، کم بودن تلفات مکانیکی و عملکرد با سرعت بالا و صدای پایین است [۱ و ۴]. در موتور القایی خطی (LIM) به‌جای استفاده از رتور قفسه سنجایی یک ورقه هادی (معمولًاً الومینیومی) نقش رتور را ایفا می‌کند. موتورهای القایی خطی را می‌توان به دو گروه موتور خطی یک‌طرفه (اولیه در یک طرفه ثانویه قرار دارد) و موتور خطی دو‌طرفه (اولیه در دو طرف ثانویه قرار دارد) تقسیم کرد. یکی از کاربردهای موتور القایی خطی دوطرفه در سیستم تست حوضچه انواع شناورها و پرنده‌های دوزیست هوا دریاست. توسط موتور خطی می‌توان وضعیت آبودینامیک پرنده‌ها و یا

در موتورهای خطی به‌جای حرکت دورانی با حرکت انتقالی یا خطی مواجه هستیم، اگر یک موتور دوار را برش دهیم و آن را از حالت مدور خارج نمود، تسطیح نمائیم، موتور خطی حاصل می‌شود. برای موتورهای خطی به‌جای استاتور از لفظ اولیه و به‌جای روتور از کلمه ثانویه استفاده می‌نماییم [۱]. در موتور دوار اگر منبع سه فاز به استاتور وصل شود شارگردن در شکاف هوازی بین رتورواستاتور شکل می‌گیرد به‌طور مشابه اگر منبع سه فاز به اولیه موتورهای خطی وصل گردد. موج چگالی شار سیار شکل گرفته و در طول مسیر اولیه حرکت می‌نماید [۲ و ۳ و ۵]. موتورهای خطی را می‌توان در گروه‌های متفاوت دسته‌بندی کرد که عبارتند از: موتورهای خطی DC، موتورهای القایی خطی، موتورهای

المان‌ها نیز بر حسب شکل المان‌ها و مرتبه درون‌یابی چندجمله‌ای تابع آزمون مشخص می‌شوند. یک نوع از این المان‌ها، مثلاً مثلثی مرتبه اول را جهت تحلیل انتخاب می‌کنیم. این نوع المان به طور گسترده‌ای در مهندسی برق استفاده می‌شود [۶ و ۹].

۳- تحلیل موتور القایی خطی به روش اجزای محدود

مدل در نظر گرفته شده یک موتور القایی خطی دو طرفه اولیه کوتاه است که ثانویه موتور از ورق آلومینیومی ساخته شده و در مکان خود ثابت نگه داشته شده است و اولیه در طول مسیر آن حرکت می‌کند. در طراحی موتور القایی خطی پارامترهای تأثیرگذار در عملکرد موتور القایی خطی از جمله فاصله هوایی، ضخامت ثانویه و تعداد قطب‌ها باید به گونه‌ای تعیین شوند تا موتور تحت بهترین شرایط عملکرد قرار گیرد. برای بهینه‌سازی عملکرد موتور القایی خطی پارامترهای تأثیرگذار بر عملکرد موتور القایی در مقادیر مختلف برای موتور القایی خطی به روش اجزای محدود شبیه‌سازی شده‌اند و مقدار بهینه هر کدام از پارامترها برای طراحی بهینه موتور القایی خطی انتخاب شده است. به دلیل اینکه نرم‌افزار Maxwell توانایی حل معادلات الکترومغناطیسی و معادلات دینامیکی، مکانیکی را دارد. از این نرم‌افزار برای طراحی و تحلیل مدل مورد نظر استفاده شده است.



شکل ۱- موتور القایی خطی دو طرفه، اولیه کوتاه

پارامترهای تأثیرگذار بر عملکرد موتور القایی خطی از جمله فاصله هوایی، ضخامت ثانویه و تعداد قطب‌ها مورد تحلیل الکترومغناطیسی قرار گرفته است و مقادیر پارامترهای استفاده شده در شبیه‌سازی مطابق جدول (۱) است.

وضعیت هیدرودینامیک شناورهای سطحی و زیرسطحی را شناسایی نمود [۸]. در این مقاله یک موتور القایی خطی دو طرفه، اولیه کوتاه در شرایط متفاوت طراحی و سپس Maxwell به روش اجزای محدود و با استفاده از نرم‌افزار موردن تحلیل الکترومغناطیسی قرار گرفته است.

۴- روش تحلیل عددی

طبق قانون نیوتون برای موتور خطی می‌توان معادله نیرو را به صورت زیرنوشت [۶ و ۱] :

$$m\ddot{x} + c\dot{x} + kx = F \quad (1)$$

در اینجا F ، نیروی حاصل از میدان الکترومغناطیسی است. m جرم قسمت متحرک و c ضریب میرایی و k ضریب سختی و x ، موقعیت قسمت متحرک است. مسائل الکترومغناطیسی و مکانیکی از طریق قانون لورنتز به یکدیگر ارتباط داده می‌شوند که نیروی لورنتز نیروی حاصل تولید شده از میدان الکتریکی و مغناطیسی است که به صورت زیر بیان می‌شود:

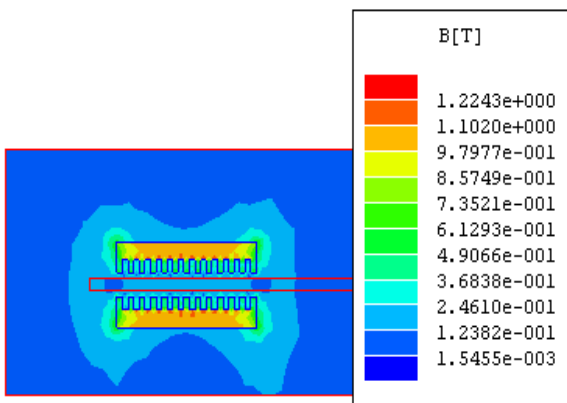
$$F_L = P(J \times \nabla \times A - \nabla V) \quad (2)$$

در اینجا V ، اندازه پتانسیل مغناطیسی و P ، چگالی بار است.

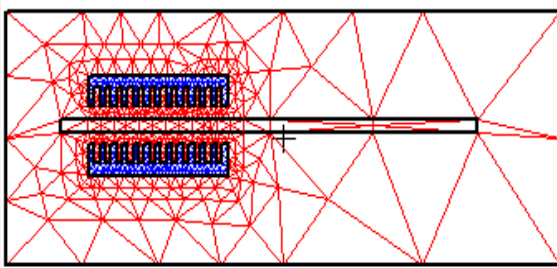
بنابراین معادله نیرو برابر می‌شود با :

$$m\ddot{x} + c\dot{x} + kx = F_L = P(J \times \nabla \times A - \nabla V) \quad (3)$$

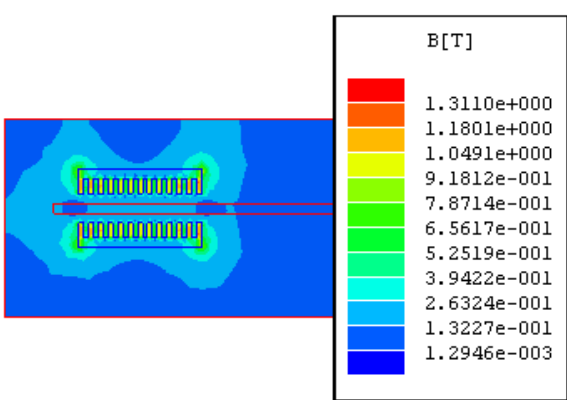
برای بررسی رفتارگذاری موتور الکتریکی معادله (۳) باید حل شود. معادله دیفرانسیلی (۳)، معادله غیرخطی و به هم وابسته است که روش تحلیلی برای حل آنها وجود دارد و برای حل این نوع معادلات به روش عددی نیاز است. روش‌های عددی زیادی وجود دارد که می‌توان به روش تفاضل محدود (FDM)، روش اجزای محدود (FEM) و روش المان مرزی (BEM) (اشارة کرد [۷ و ۶]). که در این مقاله از روش اجزای محدود (FEM) استفاده شده است. اجزاء محدود در ابتدا برای حل مسائل سازه‌ها بکار برده می‌شوند و در اوایل دهه ۱۹۵۰ در مسائل انتقال حرارت و حرکت سیال مورد استفاده قرار گرفتند. اما این روش امروزه به‌طور گستردگی در مهندسی برق بکار گرفته می‌شود. در روش اجزاء محدود، مسئله میدان اصلی به تعدادی زیردامنه یا المان تقسیم می‌شود سپس توزیع پتانسیل در هر یک از المان‌ها به‌وسیله یک چندجمله به نام تابع آزمون (تقریب زده می‌شود) و سپس از آن یک حل عددی برای مسئله میدان نسبت به یک معیار بهینه بدست می‌آید. شکل‌های مختلفی از المان‌ها مورد استفاده قرار می‌گیرد که مهمترین آنها عبارتند از: مثلثی، چهارضلعی و شکل‌های منحنی الخط، انواع



شکل ۳- توزیع چگالی شار میدان مغناطیسی در موتور القائی خطی با فاصله هوایی ۵ میلیمتر



شکل ۴- مدل مشگذاری شده از موتور القائی خطی با فاصله هوایی ۱۰ میلیمتر



شکل ۵- توزیع چگالی شار میدان مغناطیسی در موتور القائی خطی با فاصله هوایی ۱۰ میلیمتر

حالت سوم: در این حالت موتور القائی خطی دوطرفه با فاصله هوایی ۱۵ میلیمتر شبیه‌سازی شده است و نتایج حاصل در شکل‌های (۶) و (۷) نشان داده شده است.

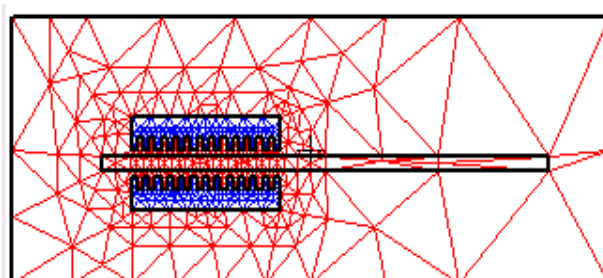
جدول ۱- پارامترهای موتور القائی خطی

پارامترها	مقادیر
L_p	$0.5m$
L_s	$4m$
d	$0.10m$
P	۴
S	۱۲
τ_p	$0.1209 m$
V	$15m/s$
f	$50Hz$

دراينجا L_p و L_s به ترتیب طول اولیه و طول ثانویه موتور هستند. d ، ضخامت ثانویه P تعداد قطبها و S تعداد شکاف‌های در اولیه موتور است. τ_p ، گام سیم‌پیچی موتور القائی خطی است و V، سرعت خطی است.

۴-۱- بررسی اثر فاصله هوایی

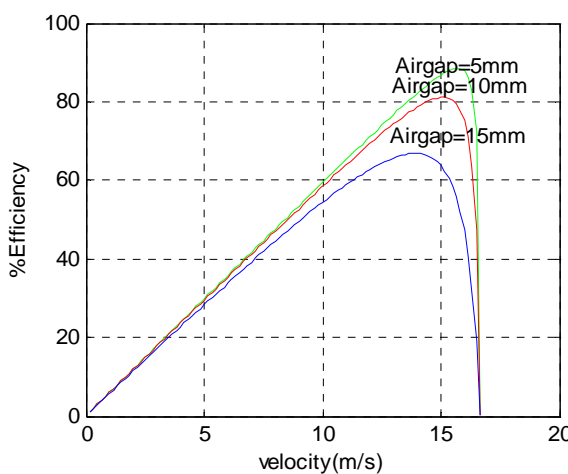
در حالت اول: یک موتور القائی خطی دوطرفه اولیه کوتاه با ۴ قطب و ۱۲ شکاف در اولیه با فاصله هوایی ۵ میلیمتر بین اولیه و ثانویه به روش اجزای محدود شبیه‌سازی شده است. در شکل‌های (۲) و (۳) نتایج حاصل نشان داده شده است.



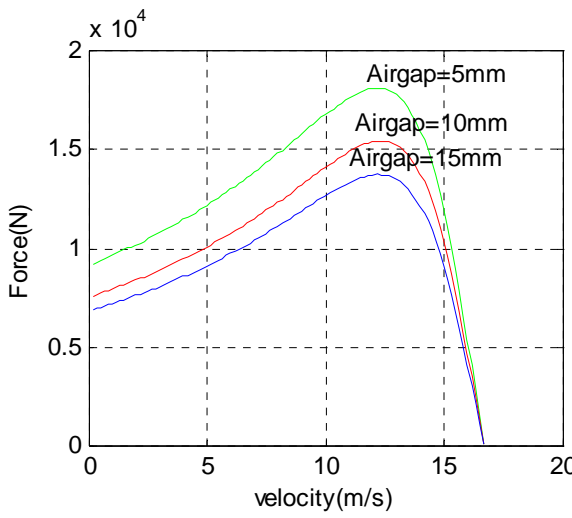
شکل ۲- مدل مشگذاری شده از موتور القائی خطی با فاصله هوایی ۵ میلی متر

در شکل (۳) مشخص است که چگالی شار در شکاف‌های اولیه موتور بیشترین مقدار را دارد و توزیع چگالی شار در ثانویه موتور کاهش یافته و مقدار کمی دارد.

در حالت دوم: موتور القائی خطی دوطرفه اولیه کوتاه با ۴ قطب و ۱۲ شکاف در اولیه با فاصله هوایی ۱۰ میلیمتر بین اولیه و ثانویه شبیه‌سازی شده است و در شکل (۴) و (۵) نتایج نشان داده شده است.



شکل ۸- مشخصه راندمان - سرعت

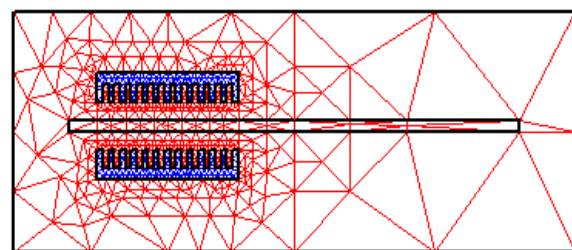


شکل ۹- مشخصه نیرو - سرعت

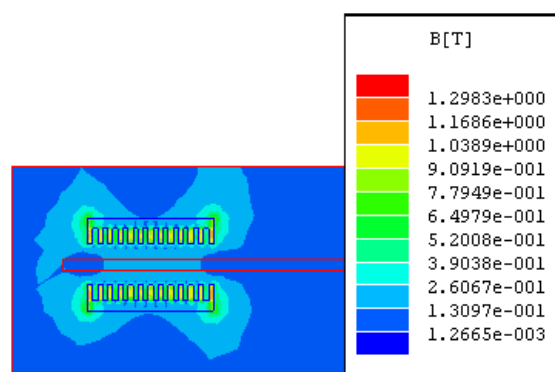
۴- بررسی اثر تعداد قطب‌ها

موتور القائی برای سه حالت متفاوت مورد تحلیل الکترومغناطیسی قرار گرفته است و مقادیر پارامترهای استفاده شده در شبیه‌سازی مطابق جدول (۱) است.

در حالت اول: یک موتور القائی خطی دوطرفه اولیه کوتاه با ۲ قطب و ۶ شکاف در اولیه با فاصله هوایی ۵ میلیمتر بین اولیه و ثانویه به روش اجزای محدود شبیه‌سازی شده است. در شکل‌های (۱۰) و (۱۱) نتایج حاصل نشان داده شده است.



شکل ۶- مدل مشگذاری شده از موتور القائی خطی فاصله هوایی ۱۵ میلیمتر

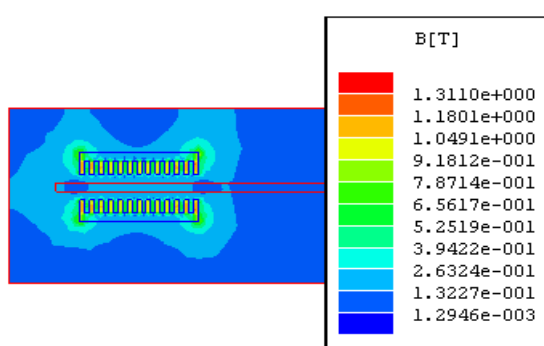


شکل ۷- توزیع چگالی شار میدان مغناطیسی در موتور القائی خطی با فاصله هوایی ۱۵ میلیمتر

موتورهای القائی خطی نسبت به موتورهای دوار دارای شکاف هوایی نسبتاً بزرگی هستند، لذا راکتانس مغناطیسی کنندگی در موتورهای القائی خطی کم است و جریان تحریک نسبتاً قابل ملاحظه و زیاد است. فاصله هوایی نقش مهمی در تعیین میزان راندمان موتور القائی خطی دارد.

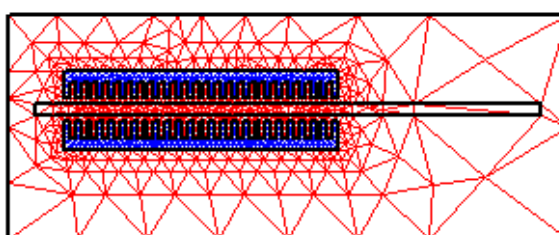
در صورتی که محدودیت ساخت وجود نداشته باشد، فاصله هوایی در موتورهای الکتریکی باید تا حد امکان کوچک انتخاب شود، برای مقایسه روش عددی و روش تحلیلی در شبیه‌سازی موتور القائی خطی، یک موتور القائی خطی با استفاده از نرم‌افزار Matlab با فاصله هوایی‌های ۵ و ۱۰ و ۱۵ میلیمتر شبیه‌سازی شده است. شکل‌های (۸) و (۹) نتایج حاصل را نشان می‌دهند.

از نتایج حاصل مشخص است که با افزایش فاصله هوایی راندمان و نیروی راهاندازی در موتور القائی خطی کاهش یافته است. بنابراین طراحی موتور باید به گونه‌ای انجام شود که با توجه به محدودیت‌های موجود بهترین شرایط حاصل شود.

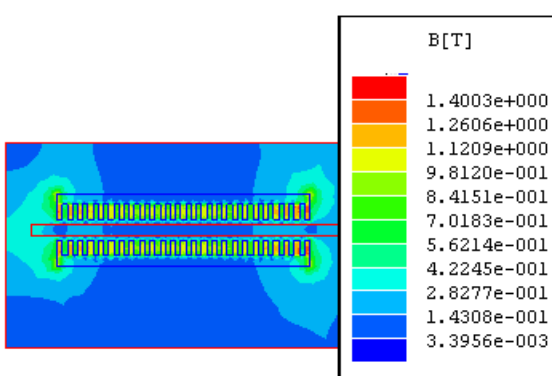


شکل ۱۳- توزیع چگالی شار میدان مغناطیسی در موتور القائی ۴قطب

حالت سوم: موتور القائی خطی دوطرفه اولیه کوتاه با ۸ قطب و ۲۴ شکاف در اولیه با فاصله هوازی ۵ میلیمتر بین اولیه و ثانویه شبیه‌سازی شده است و نتایج حاصل در شکل‌های (۱۴) و (۱۵) نشان داده شده است.

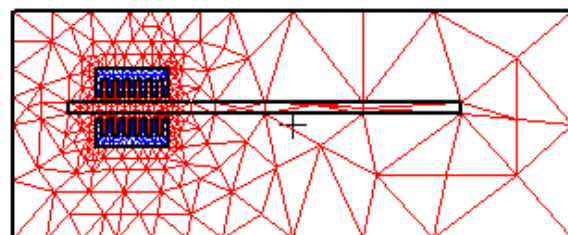


شکل ۱۴- مدل مشگذاری شده از موتور القائی خطی ۴قطب

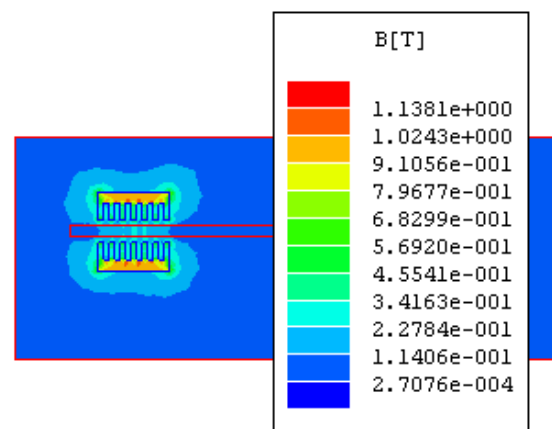


شکل ۱۵- توزیع چگالی شار میدان مغناطیسی در موتور القائی خطی ۸قطب

از شبیه‌سازی موتور القائی خطی به روش اجزای محدود مشخص است که تعداد قطب‌ها نقش مهمی در تعیین میزان راندمان موتور القائی خطی دارد. برای مقایسه روش عددی و

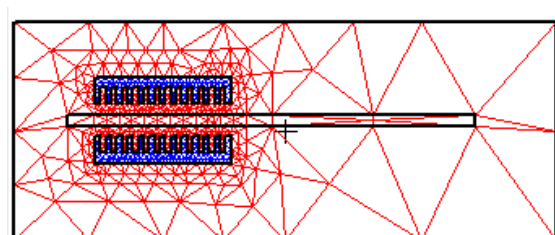


شکل ۱۰- مدل مشگذاری شده از موتور القائی خطی ۲قطب



شکل ۱۱- توزیع چگالی شار میدان مغناطیسی در موتور القائی خطی ۲قطب

در حالت دوم: موتور القائی خطی دوطرفه اولیه کوتاه با ۴ قطب و ۱۲ شکاف در اولیه با فاصله هوازی ۵ میلیمتر بین اولیه و ثانویه شبیه‌سازی شده است و در شکل (۱۲) و (۱۳) نتایج نشان داده شده است. از مقایسه دو حالت درنظر گرفته شده مشخص است که با افزایش قطب‌ها چگالی شار در فاصله هوازی موتور القائی افزایش یافته است.

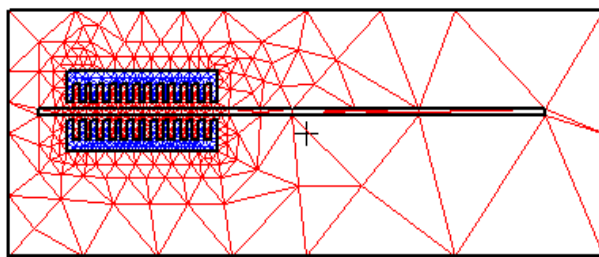


شکل ۱۲- مدل مشگذاری شده از موتور القائی خطی ۴قطب

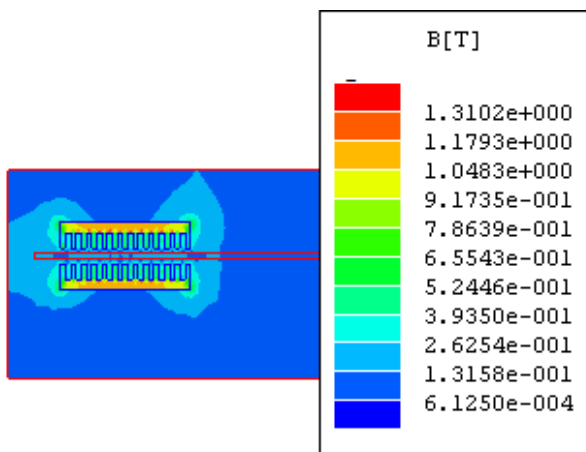
۴-۳-۴- بررسی اثر ضخامت ثانویه

مотор القائی برای سه حالت متفاوت مورد تحلیل الکترومغناطیسی قرار گرفته است و مقادیر پارامترهای استفاده شده در شبیه‌سازی مطابق جدول (۱) است.

در حالت اول: یک موتور القائی خطی دوطرفه اولیه کوتاه با ۴ قطب و ضخامت ثانویه ۵ میلیمتر به روش اجزای محدود شبیه‌سازی شده است. در شکل‌های (۱۸) و (۱۹) نتایج حاصل نشان داده شده است.



شکل ۱۸- مدل مشگذاری شده از موتور القائی خطی با ضخامت ثانویه ۵ میلیمتر

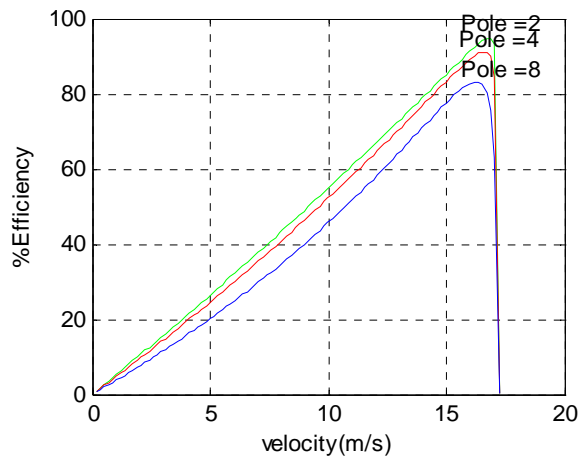


شکل ۱۹- توزیع چگالی شار میدان مغناطیسی در موتور القائی خطی با ضخامت ثانویه ۵ میلیمتر

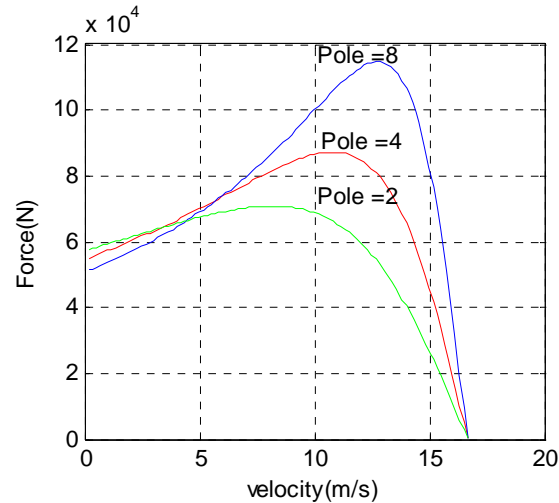
در حالت دوم: موتور القائی خطی دوطرفه اولیه کوتاه با ۴ قطب و ضخامت ثانویه ۱۰ میلیمتر شبیه‌سازی شده است و در شکل (۲۰) و (۲۱) نتایج نشان داده شده است.

از مقایسه دو حالت درنظر گرفته شده مشخص است که با افزایش ضخامت ثانویه چگالی شار در فاصله هوای موتور القائی افزایش یافته است.

روش تحلیلی در شبیه‌سازی موتور القائی خطی، یک موتور القائی خطی با استفاده از نرم‌افزار Matlab با تعداد قطب ۲ و ۴ و ۸ شبیه‌سازی شده است. شکل‌های (۱۶) و (۱۷) نتایج حاصل را نشان می‌دهند.



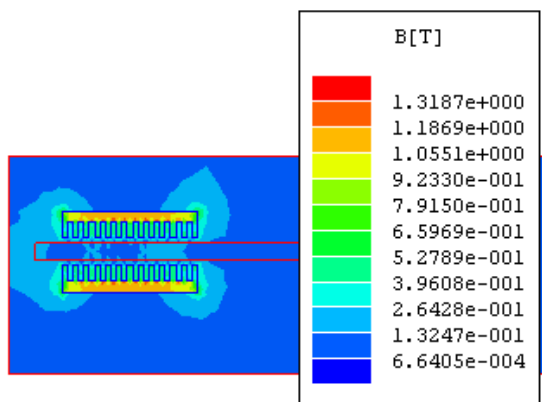
شکل ۱۶- مشخصه راندمان - سرعت



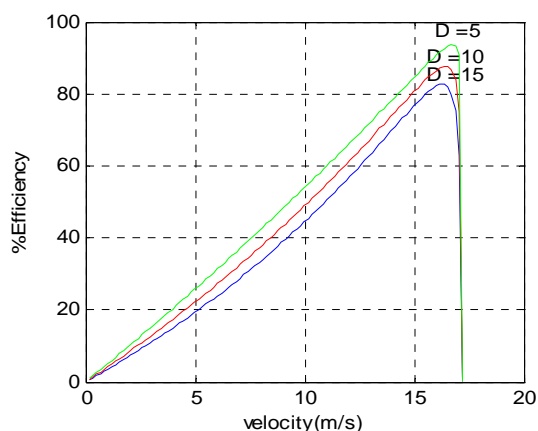
شکل ۱۷- مشخصه نیرو - سرعت

از مقایسه ۳ حالت درنظر گرفته شده برای شبیه‌سازی موتور القائی خطی مشخص است با افزایش تعداد قطب کاهش خواهد یافت. بنابراین تعداد قطب‌ها باید به گونه‌ای تعیین شود که نیروی و بازده موتور در مقدار قابل قبولی قرار داشته باشند همچنین در تعیین تعداد قطب‌ها محدودیت طول اولیه موتور نیز باید درنظر گرفته شود زیرا با افزایش تعداد قطب‌ها طول اولیه نیز افزایش خواهد یافت.

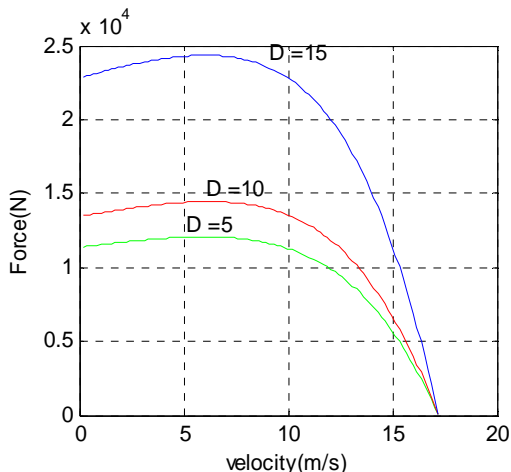
استفاده از نرم افزار Matlab با ضخامت ثانویه ۵ و ۱۰ و ۱۵ میلیمتر شبیه سازی شده است. شکل های (۲۴) و (۲۵) نتایج حاصل را نشان می دهند.



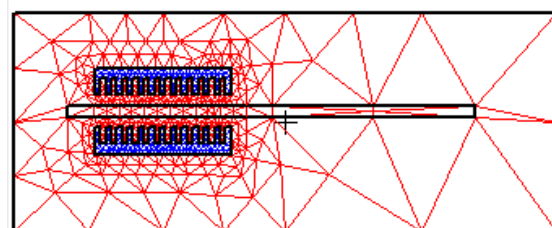
شکل ۲۳- توزیع چگالی شار میدان مغناطیسی در موتور القائی خطی با ضخامت ثانویه ۱۵ میلیمتر



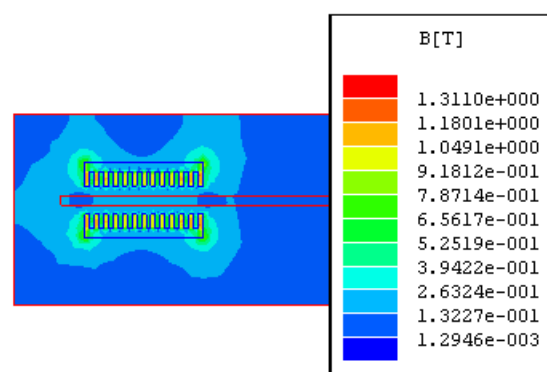
شکل ۲۴- مشخصه راندمان - سرعت



شکل ۲۵- مشخصه نیرو - سرعت

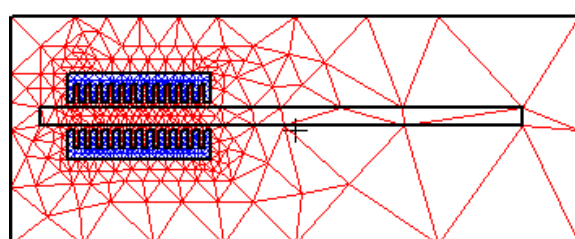


شکل ۲۰- مدل مشگذاری شده از موتور القائی خطی با ضخامت ثانویه ۱۰ میلیمتر



شکل ۲۱- توزیع چگالی شار میدان مغناطیسی در موتور القائی با ضخامت ثانویه ۱۰ میلیمتر

حالت سوم: موتور القائی خطی دوطرفه اولیه کوتاه با ۴ قطب و ضخامت ثانویه ۱۵ میلیمتر شبیه سازی شده است و نتایج حاصل در شکل های (۲۲) و (۲۳) نشان داده شده است.



شکل ۲۲- مدل مشگذاری شده از موتور القائی خطی با ضخامت ثانویه ۱۵ میلیمتر

از شبیه سازی به روش اجزای محدود مشخص است ضخامت ثانویه نقش مهمی در تعیین میزان راندمان موتور القائی خطی دارد. برای مقایسه روش عددی و روش تحلیلی در شبیه سازی موتور القائی خطی، یک موتور القائی خطی با

که V_{motor} ، ماکزیمم سرعت اولیه می‌باشد و F_{total} ماکزیمم نیروی است که موتور باید تأمین کند. مجموع نیروی تولید شده توسط موتور القائی خطی تقریباً برابر است با مجموع نیروی تولید شده توسط هر کویل، با فرض اینکه هر کویل نیروی برابر و مستقل از دیگر کویل‌ها ایجاد کند تعداد کویل‌ها را می‌توان به صورت زیر محاسبه کرد:

$$N_B(\tilde{R}) = \frac{F_{total}}{F_B(\tilde{R})} \quad (7)$$

که (F_B) نیروی تولید شده توسط یک کویل است بنابراین تابع هدف در معادله (۶) بر حسب معادله (۷) به صورت زیر بازنویسی می‌شود.

$$\begin{aligned} F_{(\tilde{R})} &= \frac{F_B(\tilde{R}) \cdot V_m}{N_B \left(\frac{F_B(\tilde{R}) \cdot V_m}{N_B} + P_{loss}(\tilde{R}) \right)} \\ &= \frac{F_B(\tilde{R}) \cdot V_m}{F_B(\tilde{R}) \cdot V_m + N_B(\tilde{R}) \cdot P_{loss}(\tilde{R})} \end{aligned} \quad (8)$$

روش بهینه‌سازی انجام شده مبتنی بر تقریب کوادراتیک تابع هدف می‌باشد. در این روش در ابتدا یک نقطه شروع اولیه در فضای طراحی داده می‌شود (\tilde{R})، سپس در دو نقطه دیگر از طریق رابطه زیر محاسبه می‌شود:

$$\tilde{R}^{new} = \tilde{R}^o + \Delta hi \quad (9)$$

که Δhi تغییرات آمین متغیر است و متغیرهای دیگر در این مرحله ثابت می‌باشند. در سه نقطه حاصل شده تابع کوادراتیک با تابع هدف مناسب می‌شود و بهترین نقطه متغیر بدست می‌آید. که این مقدار بهینه \tilde{R}^* جایگزین سه نقطه قبلی می‌شود و این پروسه تا زمان همگرایی تابع هدف انجام می‌شود.

برای بدست آوردن نقطه بهینه برای هر کدام از متغیرهای طراحی پروسه توضیح داده شده تکرار می‌شود. این روش بهینه‌سازی موسوم به روش تقریب چندجمله‌ای است.

در شکل (۲۶) مقدار بازده موتور بر حسب تعداد مراحل بهینه‌سازی نشان داد شده است همان‌گونه که از شکل (۲۶) مشخص است ماکزیمم بازده تحت شرایط تعیین شده در مقدار ۹۲/۸٪ همگرا می‌شود.

ماکزیمم بازده‌ای که تحت شرایط تعیین شده حاصل شده است ۹۲/۸٪ می‌باشد که مقادیر هریک از متغیرهای طراحی و نیروی کویل (F_B) در بازده بهینه ۹۲/۸٪ در جدول (۲) نشان داده شده است.

وقتی که ضخامت ثانویه افزایش داده شود اندازه نیرو نیز افزایش خواهد یافت اما با افزایش ضخامت ثانویه تلفات موتور نیز افزایش می‌یابد. در تعیین ضخامت ثانویه محدودیت طول ثانویه موتور نیز باید در نظر گرفته شود.

۴-۴- طراحی بهینه با درنظرگرفتن مجموع عوامل

مؤثر در طراحی موتور القائی خطی

به منظور انجام بهینه‌سازی، تابع هدف باید برمبنای مدل موتور الکتریکی و با درنظرگرفتن شرایط لازم برای طراحی موتور القائی خطی دوطرفه تعریف شود.

متغیرهای انتخاب شده برای بهینه‌سازی موتور از مهمترین پارامترهای الکتریکی و مکانیکی تأثیرگذار در طراحی موتور می‌باشند که عبارتند از:

۱. فاصله هوایی بین اولیه و ثانویه (R_1)

۲. تعداد قطب‌های اولیه (R_2)

۳. ضخامت ثانویه موتور (R_3)

برای هر متغیر طراحی محدوده مناسب باید تعیین شود. اولین شرط لازم این است که هیچ یک از متغیرهای طراحی نباید از صفر کمتر باشد، شرط دیگر این است که تعداد قطب‌ها نباید فرد باشد، شرایط دیگر با توجه به شکل هندسی موتور و محدودیت موجود در ساخت موتور تعیین می‌شوند.

بردار متغیرهای طراحی (\tilde{R}) را به صورت زیر تعریف می‌کنیم.

$$\tilde{R} = (R_1, R_2, R_3) \quad (4)$$

و بردار شرط (\tilde{C}) بر حسب متغیرهای طراحی به صورت زیر طراحی می‌شود:

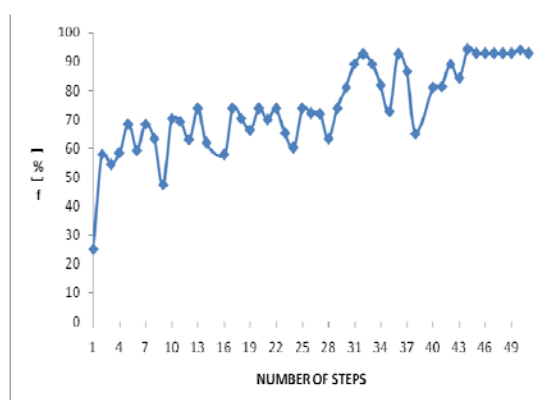
$$\tilde{C} = \begin{cases} 0 < R_1 < 15mm \\ 2 < R_2 < 8 \\ 0 < R_3 < 15mm \end{cases} \quad (5)$$

هدف حداکثر کردن بازده موتور القائی با درنظرگرفتن شرایط خاص موتور القائی است. بنابراین تابع هدف بازده موتور ($F(\tilde{R})$) می‌باشد. که بر حسب نسبت بین توان مکانیکی خروجی (F_{Total}) به توان ورودی به موتور تعریف می‌شود. توان ورودی از V_{motor} جمع کردن توان خروجی و مجموع تلفات توان (P_{Loss}) حاصل می‌شود.

$$F(\tilde{R}) = \frac{P_{output}}{P_{input}} = \frac{P_{output}}{P_{output} + P_{loss}} = \frac{F_{total}V_{motor}}{F_{total}V_{motor} + P_{loss}(\tilde{s})} \quad (6)$$

۶- مراجع

- [1] J. Han, Y. Li, Y. Du, W. Xu; “**Dynamic Characteristics Study of Single-Sided Linear Induction Motor with Finite Element Method**”, IEEE/ASME International Conference on Advanced Intelligent Mechatronics, Vol. 15, pp. 439 - 444, 2-5 July 2008.
- [2] Ch. I. Huang, L. Ch. Fu; “**Adaptive approach to motion controller of linear induction motor with friction compensation**”, IEEE/ASME Transactions on Mechatronics, Vol. 12, Aug 2007.
- [3] T. S. Ch. Park, W. L, K. M. Kim; “**Analysis of Linear Induction Motors for MAGLEV According to the Secondary Conductor Structure**”, International Conference on Electrical Machines and Systems, pp. 1995–1998, 8-11 Oct. 2007.
- [4] F. J. Lin, L. T. Teng, Ch. K. Chang; “**Adaptive Backstepping Control for Linear Induction Motor Drive Using FPGA**” Annual Conference on IEEE Industrial Electronics, Vol. 6 , pp. 1269 – 1274, Nov 2006.
- [5] R. J. Wai; Ch. Ch. Chu; “**Indirect Field-Oriented Linear Induction Motor Drive with Petri Fuzzy-Neural-Network Control**”, IEEE International Conference on Neural Networks, Vol. 1, 31 July-4, pp. 378 - 383, Aug. 2005.
- [6] E. Médici, D. Serrano; “**Finite Element Simulations of Berdut Linear Motor**”, XIV Congress on Numerical Methods and their Applications, Bariloche, Argentina, November 2004.
- [7] E. F. da Silva, Charles C. dos Santos; “**Field Oriented Control of Linear Induction Motor Taking into Account End Effects**”, The 8th IEEE International Workshop on 25-28 March 2004.
- [8] S. Bala; “**Analysis of a Linear Induction Motor with Double-Sided Primary and Sheet Secondary**”, Electric Machines and Drives Conference, Vol.4, pp. 1912-1917, April 2002.
- [9] W. Kim, B. C. Murphy; “**Design and Construction of a Novel tubular Linear Motor with Controller for Robotics Applications**”, Engineering Congress & Exposition Proceedings of IMECE’03, 2003 ASME International Mechanical Engineering Congress, November 2003.



شکل-۲۶- همگرایی بازده

جدول-۲- نقاط بینه

R1	R2	R3	FB	NB	f
۵ mm	۴ -	۱۰ mm	۳۶ N	۷۵ -	۹۲,۸۵ %

۵- نتیجه‌گیری

موتورهای القایی خطی نسبت به موتورهای دوار دارای فاصله هوایی نسبتاً بزرگی هستند، لذا راکتانس مغناطیسی کنندگی در موتورهای القایی خطی کم است و جریان تحریک نسبتاً قابل ملاحظه و زیاد است از نتایج حاصل مشخص است که انتخاب بینه فاصله هوایی نقش مهمی در بهبود عملکرد موتور القایی خطی خواهد داشت. همچنین با افزایش تعداد قطبها نیروی موتور افزایش پیدا می کند اما با افزایش تعداد قطبها تلفات توان نیز در موتور افزایش یافته است در نتیجه بازده موتور کاهش خواهد یافت. در تعیین تعداد قطبها محدودیت طول اولیه موتور نیز باید در نظر گرفته شود. وقتی که ضخامت ثانویه افزایش ضخامت ثانویه تلفات نیرو نیز افزایش خواهد یافت اما با افزایش ضخامت ثانویه تلفات موتور نیز افزایش می باید. بنابراین پارامترهای تأثیرگذار بر عملکرد موتور باید به گونه‌ای انتخاب و بهینه‌سازی شود تا ضربت توان و عملکرد موتور به طور قابل قبول توجهی افزایش یابد. در طراحی ماشین‌های الکترونیکی باید مسائل و محدودیت‌های الکترو مغناطیسی، حرارت و مکانیکی را مورد بررسی قرار داد. بنابراین رسیدن به یک طراحی قابل قبول تکرارهای محاسباتی زیادی را موجب می گردد. استفاده از کامپیوترهای جدید همچنین بهره‌گیری از روش محاسباتی پیشرفته این امکان را به وجود می آورد که بتوان رفتار ماشین را بدقت مدل نموده و طرح‌های جدید را نیز به سرعت ارزیابی نمود.